

## Arac.acid의 유전완화현상

송진원, 조수영, 이영길\*, 이경섭\*\*  
동신대학교 대학원 전기전자공학과, 광주보건대학\*, 동신대학교 전기광전자공학부\*\*

### Dielectric Relaxation Phenomena of Arac.acid

Jin-Won Song, Su-Young Cho, Young-Gil Lee\*, Kyung-Sup Lee\*\*  
Dept. of Electrical & Electronic Eng. Dongshin University, grad.

\*Kwangju Health college

\*\*Dept. of Electrical and Photo-electronic Eng. Dongshin University

**Abstract** - Maxwell displacement current(MDC) measuring technique has been employed to study the dielectric property of Langmuir-films. A method for determining the dielectric relaxation time  $\tau$  of floating monolayers on the water surface is presented. MDC flowing across monolayers is analyzed using a rod-like molecular model. It is revealed that the dielectric relaxation time  $\tau$  of monolayers in the isotropic polar orientational phase is determined using a liner relationship between the monolayer compression speed  $\alpha$  and the molecular area  $A_m$ . Compression speed  $\alpha$  was about 30, 40, 50mm/min.

### 1. 서 론

수면 위 유기 단분자막에 압력 등의 외부 자격을 가하면 실제 단분자는 곧바로 평형상태에 도달하지 않고 어느 정도의 시간이 경과 후에 평형상태에 도달하게 된다. 이렇게 시간에 의해 변화하는 비평형 상태로부터, 평형 상태로 이동하는 현상을 유전완화현상이라 한다.

유전완화현상을 연구하기 위한 완화시간  $\tau$ 와 점성계 수  $\xi$ 등의 파라메터는, 물질의 기본적인 물성값이고 고유의 값을 가지므로, 이를 값을 결정하는 것이 유전완화현상을 해석하기 위한 중요 요소가 된다. 수면 위 단분자막은 압축하는 동안 막의 형상과 특성이 바뀌며, 다양한 상변이 현상이 나타난다. 유기단분자의 Maxwell displacement current(MDC)측정에서 폐회로 전류는 단분자를 압축하는 동안에 관찰되어 지며, Langmuir막의 유전 완화시간  $\tau$ 를 결정하기 위한 방법으로 변위전류법이 이용되고 있다.<sup>1-5)</sup>

본 연구에서는 변위전류법에 의해 압축 속도에 따른 변위전류를 측정하였고, 유기 단분자의 유전 완화 현상을 연구하였는데, 압축 속도에 따른 분자의 최대 점유면적은 선형관계를 얻을 수 있었으며, 점유면적이 좁아짐에 따라 완화시간이 짧아짐을 알 수 있었다.

### 2. 이 론

그림 1은 수면위의 유기 단분자의 모델을 나타내었다.

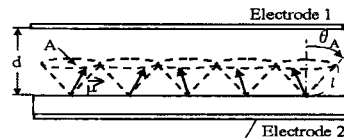


그림 1. 수면위의 분자모델

Fig. 1. Molecular model on water surface

단분자의 단층은 길이  $l$ 을 가진 극분자로 구성되며, 각 분자는 분자의 긴 축을 따르는 방향에서 불변의 전기적 쌍극자 모멘트  $\mu$ 를 가지며, 그것은 수면으로부터 경사각  $\theta$ 를 갖게 되며, 분자는  $0 < \theta < \theta_A$  범위내에서 운동을 하게 된다.

여기서  $\theta_A = \sin^{-1}\sqrt{A/A_0}$  ( $A_0 = \pi l^2$ ) ( $A$ : 분자의 면적)이다.

분자의 운동은 Debye-Brownian 운동 방정식을 만족한다고 가정하면, 식 (1)과 같다.

$$\frac{d}{dt} (S(t) - S_{eq}) = - \frac{S(t) - S_{eq}}{\tau} + \frac{1 - \langle \cos^2 \theta \rangle}{\xi} RU(t) \quad (1)$$

여기서,  $S(t)$ 는 시간  $t=t$ 일 때, 경사각  $\theta$ 에서 물의 표면 위에 존재하는 분자들의 열역학의 평균을 나타내고 있으며,  $\cos(\theta)$ 에 의하여 주어진 방위성 순서 파라메타이다.  $\xi$ 는 단분자의 마찰상수이고,  $R$ 은  $t=0$  일 때 단분자에 적용되는 상호작용이다.

$\tau$ 는 단분자막의 유전완화 시간인 식 (2)와 같다.

$$\tau = \frac{\xi}{kT} \frac{\langle (\cos \theta - \langle \cos \theta \rangle)^2 \rangle}{1 - \langle \cos^2 \theta \rangle} \quad (2)$$

단분자의 유전완화 시간  $\tau$ 는 분자 면적의 함수로서 결정되어질 수 있다.

### 3. 실험

Lipid는 일반적으로 neutral lipid, phospholipid, sphingolipid 등 3 종류로 구분할 수 있다. phospholipid는 소수성을 가지고 있어서 수용액상에서 이를 분자들 간의 뭉침 효과를 향상시키는 진사슬 지방산 부분을 가지고 있으며, 친수성을 띠고 있는 극성 머리 부분인 phosphate ester 부분을 가지고 있다.

그림 2는 본 연구에 사용된 Arachidic acid의 구조로서  $CH_3(CH_2)_{18}COOH$ 의 소수기와  $COOH$ 의 친수기를 갖는 양 친매성 물질로서, chloroform을 용매로 하여  $0.5mmol/l$ 로 조성하였고, pH 6.0인  $20^\circ C$ 의 순수한 물( $18.2M\Omega cm$ )에 전개하였다.

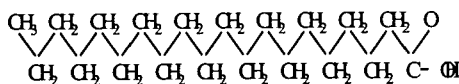


그림 2. Arachidic acid의 분자구조

Fig. 2. Molecule structures of Arachidic acid

그림 3은 본 연구에 사용된 측정장치이다. LB trough는 barrier 속도와 온도의 제어가 가능한 PTFE (polytetrafluoroethylene) coating 처리된 스테인레스 트러프이고, 전극 1은 Shield된 ITO glass로서 수면과의 거리는 LCZ meter를 이용하여 약 1mm간격을 유지하였으며 through에 탈착이 용이하도록 하였다. 전극에서 검출된 변위전류는 전류계(Keithley 6517 electrometer)를 통하여 측정하였다. 변위전류 측정은 수면 위에 시료를 전개한 후 약 10분정도 유기단분자막의 안정시간을 유지한 후 barrier의 속도를 30, 40, 50mm/min로 압축하여 측정하였다.

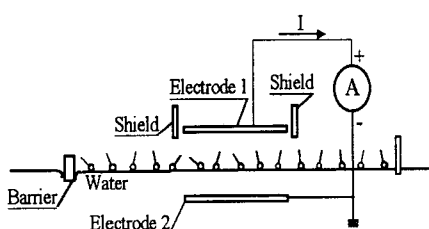


그림 3. 변위전류 측정장치

Fig. 3. Apparatus of displacement current measurement

### 4. 결과 및 고찰

그림 4는 수면위 유기단분자막을 압축하였을 때 변위전류를 나타낸 것이다.

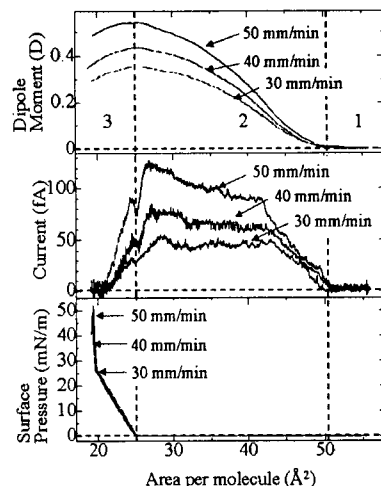


그림 4. 배리어 압축시  $\pi$ -A, I-A, D-A

Fig. 4.  $\pi$ -A, I-A, D-A of barrier compress

분자의 점유면적을  $56\text{ }\text{\AA}^2 \sim 19\text{ }\text{\AA}^2$ 부근까지 압축하였다. 시료를 전개 시켜 압축을 시작하여 1영역까지는 변위전류가 발생하지 않았는데 이는 분자들의 분포도가 주변분자의 영향을 받지 않을 정도로 충분한 거리를 유지하여 분극작용을 일으키지 않는 기상상태로 여겨지며, 변위전류와 쌍극자 모멘트가 변화하기 시작한 2영역인 약  $51\text{ }\text{\AA}^2$ 부터는 유전분극이 일어나기 시작하는 기상/액상상태가 공존하는 영역으로 쌍극자 모멘트와 함께 변위전류의 변화를 볼 수 있었고 변위전류의 최대값과 쌍극자 모멘트의 최대값 및 변이형태가 잘 일치함을 알 수 있었으며, 변위전류의 최대값은 압축 속도가 빠를수록 더 크게 나타남을 알 수 있었다. 표면압의 변화가 시작된 약  $25\text{ }\text{\AA}^2$ 부터는 액상상태로 변위전류와 쌍극자 모멘트는 일정하게 유지됨을 알 수 있었다.

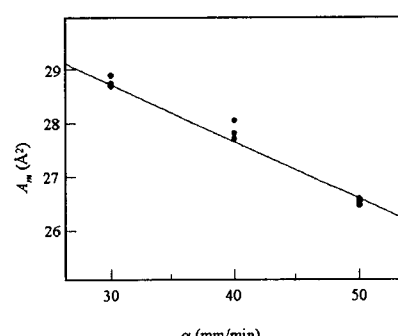


그림 5.  $\alpha$ 와  $A_m$ 의 관계

Fig. 5. Relationship between  $\alpha$  and  $A_m$

그림 4에서 변위전류가 최대값을 보이는 분자당 점유 면적을 배리어 속도에 의해 나타내면 그림 5와 같다.  $\alpha$  와  $A_m$ 은 선형적인 관계를 나타내며 압축 속도가 빠르면  $A_m$ 이 작아지는 것을 알 수 있다. 여기에서 점성계수  $\xi$ 를 구하면  $0.749 \times 10^{-19} \text{ Js}$ 이다.

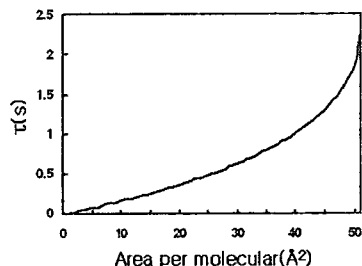


그림 6. 유전완화시간  
Fig. 6. Dielectric relaxation time

그림 5에 의해 구한  $\xi$ 로부터 단분자의 유전완화 시간을 계산한 결과를 그림 6에 나타냈다. 유전완화 시간은  $50\text{\AA}^2$ 에서 1.87,  $40\text{\AA}^2$ 에서 1.01,  $30\text{\AA}^2$ 에서 0.63,  $20\text{\AA}^2$ 에서 0.37,  $10\text{\AA}^2$ 에서 0.16으로 분자 영역에 의존하여 점유 면적이 좁아짐에 따라 짧아지는 것을 알 수 있었다.

## 5. 결론

수면위 Arachidic acid 단분자막의 압력자격에 의한 변위전류와 표면압등을 측정하였는데 압축속도가 빠를수록 변위전류의 최대값은 크게 나타났으며, 단분자의 유전완화 시간을 결정하기 위해 압축 속도  $a$ 와 분자 면적  $A_m$  사이에서 선형관계가 주어지는 것을 알 수 있었다. 이러한 선형관계로부터 점성계수  $\xi = 0.749 \times 10^{-19} \text{ Js}$ 를 구할 수 있었다. 구해진 마찰 상수에 의해 유기 단분자의 유전완화 시간을 결정할 수 있었으며 유기 단분자의 유전완화 시간은 약간의 시간이 소요되었고, 분자 영역에 의존함을 알 수 있었다.

## 참고문헌

1. M.Iwamoto, T.Sasaki, "Thermally stimulated discharge of Au/LB/Air-Gap/Au structures incorporating Cadmium Arachidate Langmuir Blodgett films", Jpn. J. Appl. Phys. Vol 29, No 3, pp.536-539, March(1990)
2. V. K. Srivastava, In physics of Thin Films, Built-up Molecular Films and Their Application, 314-315, 1984
3. Abraham Ulman, An Introduction to ultrathin organic films, 339-402, Academic Press, New York, 1991
4. Keiji Ohara and Masaaki Nakajima, "Displacement current generated during compression of fatty acid and phospholipid monolayers at the water-air interface", Thin Solid Films, 226, pp. 164-172, 1993
5. Y.Majima and M.Iwamoto, "A New Displacement Current Measuring System Coupled with the Langmuir-Film Technique", Review of scientific instruments, AIP, vol.62, No.9, pp. 2228~2283, 1991